



University of Applied Sciences

**HOCHSCHULE  
EMDEN·LEER**

Fachbereich Technik  
Abteilung Elektrotechnik und Informatik

---

**ENTWICKLUNG UND IMPLEMENTIERUNG  
EINES FAHRZEUGES FÜR DEN HYPERLOOP  
(STEUERUNG UND VERDRAHTUNG)**

**PROJEKTARBEIT**  
Studiengang Elektrotechnik

Vorgelegt von  
Oliver, Schmidt  
Studiengang Elektrotechnik  
Matr. Nr. 7023462

Emden, 9. September 2024

Betreut von  
Prof. Dr.-Ing. Kane

# Rechtliche Erklärung

## Erklärung

- [ja|nein] Die vorliegende Arbeit enthält vertrauliche / kommerziell nutzbare Informationen, deren Rechte außerhalb der Hochschule Emden/Leer liegen. Sie darf nur den am Prüfungsverfahren beteiligten Personen zugänglich gemacht werden, die hiermit auf ihre Pflicht zur Vertraulichkeit hingewiesen werden (Sperrvermerk).
- [ ja|nein-] Soweit meine Rechte berührt sind, erkläre ich mich einverstanden, dass die vorliegende Arbeit Angehörigen der Hochschule Emden/Leer für Studium / Lehre / Forschung uneingeschränkt zugänglich gemacht werden kann.

## Eidesstattliche Versicherung

Ich, der Unterzeichnende, erkläre hiermit an Eides statt, dass ich die vorliegende Arbeit selbstständig verfasst und keine anderen als die angegebenen Quellen und Hilfsmittel benutzt habe.

Alle Quellenangaben und Zitate sind richtig und vollständig wiedergegeben und in den jeweiligen Kapiteln und im Literaturverzeichnis wiedergegeben. Die vorliegende Arbeit wurde nicht in dieser oder einer ähnlichen Form ganz oder in Teilen zur Erlangung eines akademischen Abschlussgrades oder einer anderen Prüfungsleistung eingereicht.

Mir ist bekannt, dass falsche Angaben im Zusammenhang mit dieser Erklärung strafrechtlich verfolgt werden können.

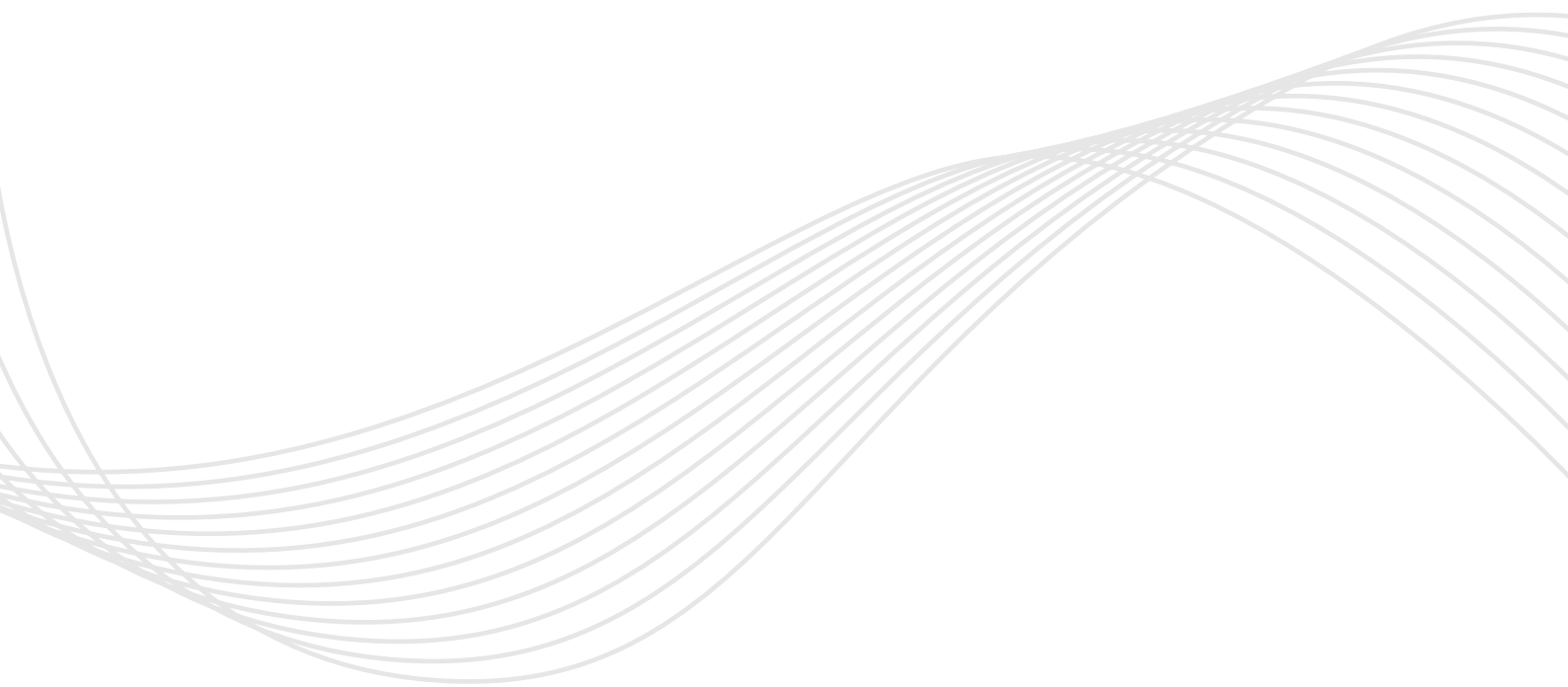
Emden, 9. September 2024

*Oliver Schmidt*

# Inhaltsverzeichnis

Rechtliche Erklärung . . . . .	I
Abbildungsverzeichnis . . . . .	IV
Tabellenverzeichnis . . . . .	V
Diagrammverzeichnis . . . . .	VI
Oszillogrammverzeichnis . . . . .	VII
<b>1 Einleitung</b>	<b>1</b>
1.1 Motivation . . . . .	1
1.1.1 Institute of Hyperloop Technology . . . . .	1
1.2 Aufgabenstellung . . . . .	3
1.3 Aufbau der Projektdokumentation . . . . .	3
<b>2 Konzept</b>	<b>4</b>
<b>3 Stand der Technik</b>	<b>5</b>
3.1 Antrieb – Golden Motor . . . . .	5
3.1.1 BLDC Motor . . . . .	6
3.1.2 Vector Controller . . . . .	8
3.2 Echtzeitfähige Steuerung – Speedgoat . . . . .	10
3.2.1 I/O-Modul – IO397-50k . . . . .	12
3.2.2 I/O-Modul – IO691 . . . . .	14
3.3 Simulink . . . . .	16
3.3.1 IO397-50k Module Konfigurieren . . . . .	16
3.3.2 IO691 Module Konfigurieren . . . . .	18
3.4 QElectroTech . . . . .	19
<b>4 Implementierung</b>	<b>20</b>
4.1 Auswahl der Bauteile . . . . .	20
4.2 Schaltplan . . . . .	20
4.2.1 Betriebsmittelbezeichnung . . . . .	21
4.2.2 Verdrahtung Konventionen . . . . .	23
4.3 Simulation mit Simulink . . . . .	24
4.3.1 . . . . .	24

4.4 Distanzmessung . . . . .	25
4.4.1 Verbindung . . . . .	25
<b>5 Konklusion</b>	<b>27</b>
<b>6 Anhang</b>	<b>28</b>



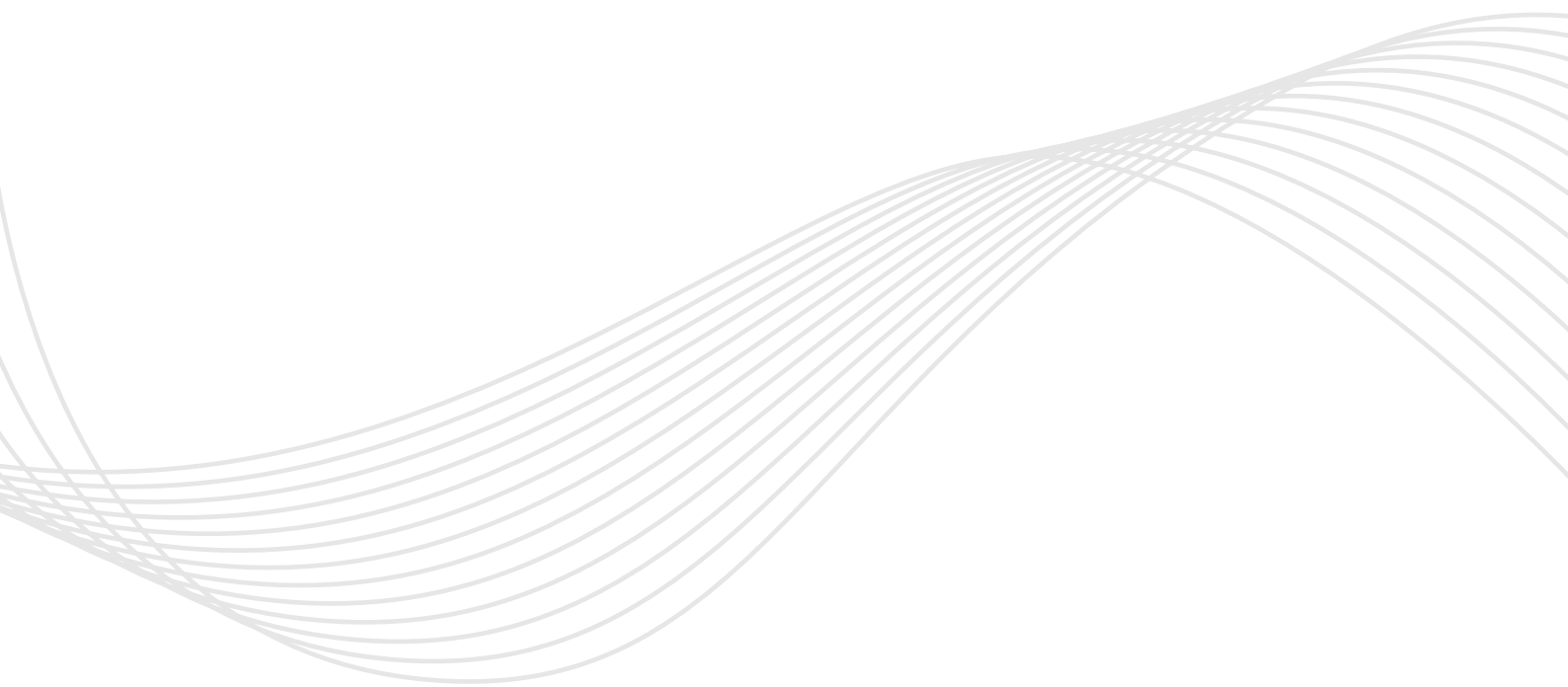
# Abbildungsverzeichnis

1.1	Hyperloop der Hochschule Emden-Leer . . . . .	2
2.1	Konzept – Aufbauplan des Pods . . . . .	4
3.1	Golden Motor – 10 KW BLDC Motor Liquid Cooled . . . . .	6
3.2	Golden Motor – VECTOR 500 Motor Controller . . . . .	8
3.3	Speedgoat – Baseline Real-Time Target Machine . . . . .	10
3.4	Speedgoat – Ansicht der Modulanschlüsse . . . . .	11
3.5	Speedgoat – I/O Module 397 [5] . . . . .	12
3.6	Speedgoat – I/O Module 691 [6] . . . . .	15
3.7	Simulink – Driver Block – IO397-50k . . . . .	16
3.8	Schaltung – Pullup Resistors . . . . .	17
3.9	Schaltung – Pullup Resistors . . . . .	17
4.1	PARKSIDE – Distanzsensor – Innenaufbau . . . . .	26

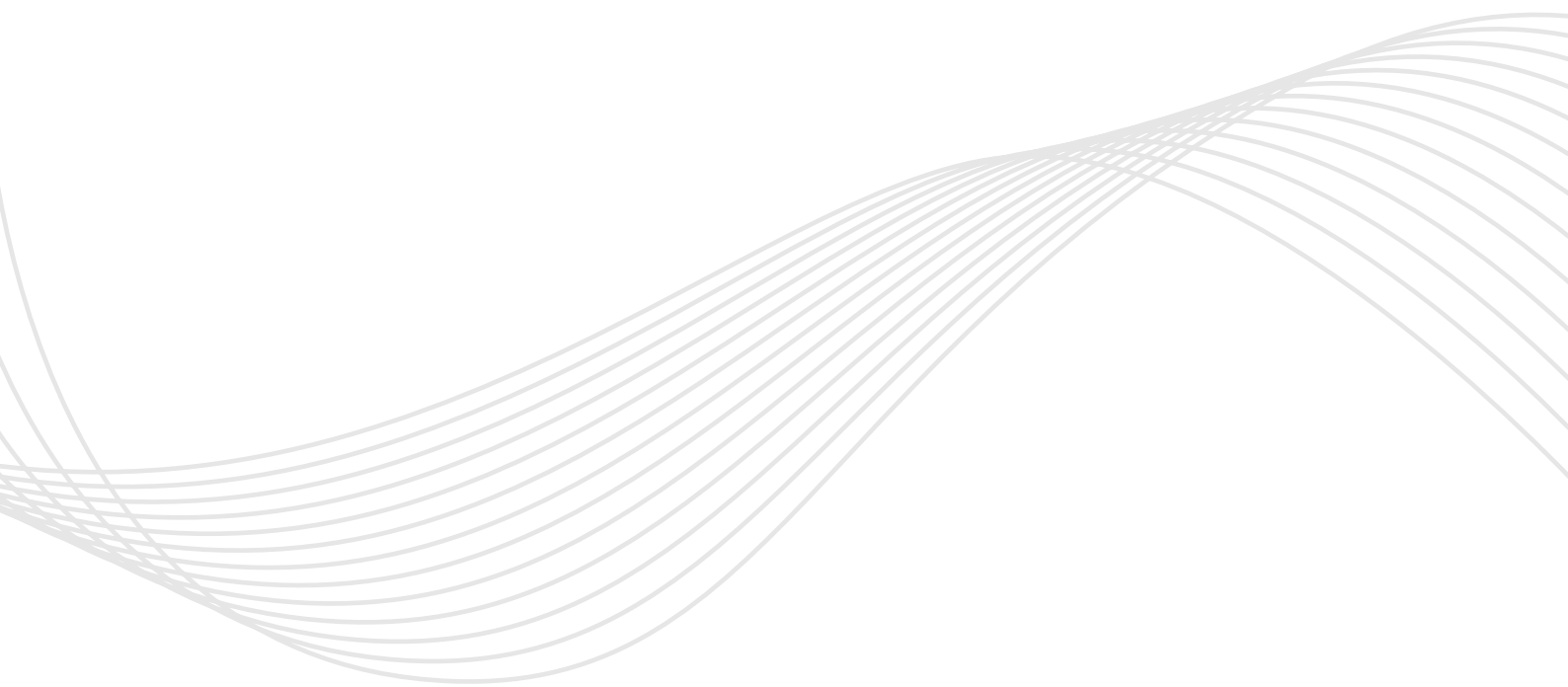
# Tabellenverzeichnis

3.1	Pin Mapping – BLDC-Motor . . . . .	7
3.2	Pin Mapping – Vector Controller . . . . .	9
3.3	Speedgoat – Anschlüsse der Module . . . . .	12
3.4	IO397-50k Pin Mapping – Terminal Board A: analog I/O [5] .	13
3.5	IO397-50k Pin Mapping – Terminal Board B: analog I/O [5] .	14
3.6	IO691 Pin Mapping . . . . .	15
3.7	Simulink – Pull Resistors . . . . .	16
4.1	Schaltplan – Funktionskennzeichen (=) . . . . .	21
4.2	Schaltplan – Ortskennzeichen (+) . . . . .	21
4.3	Schaltplan – Betriebsmittelkennzeichen (-) [7] . . . . .	22
4.4	Verdrahtung Konvention – Aderfarben . . . . .	23
4.5	PARKSIDE – Pin Mapping – Distanzsensor . . . . .	26

# Diagrammverzeichnis



# Oszillogrammverzeichnis



# Kapitel 1

## Einleitung

### 1.1 Motivation

Der Hyperloop ist ein innovatives Transportkonzept, das eine ökonomische, klimafreundliche und schnellere Alternative zu herkömmlichen Verkehrsmitteln wie Lastkraftwagen, Zügen und Flugzeugen bietet. Derzeit stehen herkömmlichen Transportmitteln zwei wesentliche Hindernisse im Weg, um Personen und Güter schnell und emissionsarm zu befördern: Zum einen der hohe Luftwiderstand, der bei hohen Geschwindigkeiten den Energieverbrauch stark erhöht, und zum anderen der Rollwiderstand der Räder, der ebenfalls zu einem höheren Energiebedarf führt.

Der Hyperloop löst diese Probleme, indem er Güter und Personen in einem Fahrzeug, das sich in einer Vakuumröhre bewegt, wie in Abbildung 1.1 dargestellt ist, zudem wird das Fahrzeug, wie bei einer Magnetschwebebahntechnik angehoben, somit lassen sich Roll- und Luftwiderstand fast vollkommen aufheben.

Angesichts der globalen Bemühungen zur Reduzierung der CO<sub>2</sub>-Emissionen und zur Bekämpfung des Klimawandels könnte Hyperloop eine umweltfreundlichere Alternative zu Autos und Flugzeugen bieten.

#### 1.1.1 Institute of Hyperloop Technology

##### Zitieren!!!!!!

Die Hochschule Emden/Leer hat im Jahr 2021 das Institut für Hyperloop-Technologie (IHT) gegründet, um aktiv an der Forschung zu dieser zukunftsweisenden Technologie teilzunehmen.

Im Rahmen dieser Forschung wurde an der Hochschule Emden eine Teststrecke mit einer Länge von 26 Metern errichtet (siehe Abbildung 1.1). Auf dieser Strecke soll das Fahrzeug (POD) unter realistischen Bedingungen



**Abbildung 1.1:** Hyperloop der Hochschule Emden-Leer

getestet und weiterentwickelt werden. Die Teststrecke besteht aus einem Schinensystem und einem Linarmotor. Der Linarmotor wird für die Magnetschwebebahntechnik verwendet.

Darüber hinaus engagiert sich das IHT in verschiedenen Projekten, darunter das »European Hyperloop Technology Center – EuHyTeC«, das europäische Hyperloop-Initiativen vernetzt und gemeinsam die nächste Generation des Transports entwickelt.

## 1.2 Aufgabenstellung

To-do

- Ablauforientiert erklären. Also erst die Bestellung, dann der Schaltplan und dann die Simulation mit Simulink.
- Aufgabenstellung in der Vergangenheit formulieren.
- Den Leser in der Doku struktur Einführen. Am enden in 1.x

Die Motivation für dieses Projekt liegt in der Entwicklung eines Hyperloop-Fahrzeugs, das mit einer Batterie und einem Motor betrieben wird. Für die Steuerung des Fahrzeugs wurde ein echtzeitfähiges Steuerungssystem der Firma Speedgoat vorgeben, welches in Abschnitt 3.2 vertieft wird.

Im Rahmen des Projekts wird ein Fahrzeug (Pod) für den Hyperloop mit einer Bordspannung von 48 V konzipiert. Ziel ist es, die Machbarkeit dieser Spannung zu überprüfen und umzusetzen. Dazu gehören die Planung und Simulierung, die Integration der erforderlichen Sensorik sowie die Beschaffung der notwendigen Bauteile. Die Logik- und Signalverarbeitung wird mithilfe von Simulink auf dem echtzeitfähigen Speedgoat-System durchgeführt. Die Steuerung erfolgt über Simulink, ein Modul von MATLAB, und umfasst die Erfassung von Position und Beschleunigung des Fahrzeuges. Der Motor wird über ein zusätzliches Steuergerät angesteuert. Die Steuerung soll als Automatensteuerung umgesetzt werden. Die Verdrahtung des Pods wird entsprechend der Bordspannung von 48 V ausgelegt. Hierfür wird mit der Software QElectroTech ein Schaltplan erstellt. Alle erforderlichen Bauteile für die Umsetzung der Bordspannung, die Verdrahtung und die Sensorik müssen beschafft werden. Textergebnisse und in Betriebnahme entfallen.

## 1.3 Aufbau der Projektdokumentation

## Kapitel 2

# Konzept

Wie in Abbildung 2.1 dargestellt, werden die Baugruppen des Pods an verschiedenen Stellen miteinander verbunden. Dabei übernimmt die Steuereinheit (+SE1) eine zentrale Rolle. Mit der echtzeitfähigen Steuerung von Speedgoat werden alle digitalen und analogen Ein- und Ausgangssignale gesteuert, einschließlich der Distanzmessung und der G-Kraft-Messungen. Die Distanzmessung ist für die Positionsermittlung notwendig, während die G-Kraft-Messung für Forschungszwecke genutzt werden soll. Die Steuereinheit (+SE1) wird von der Batterieeinheit (+BE2) mit Energie versorgt.

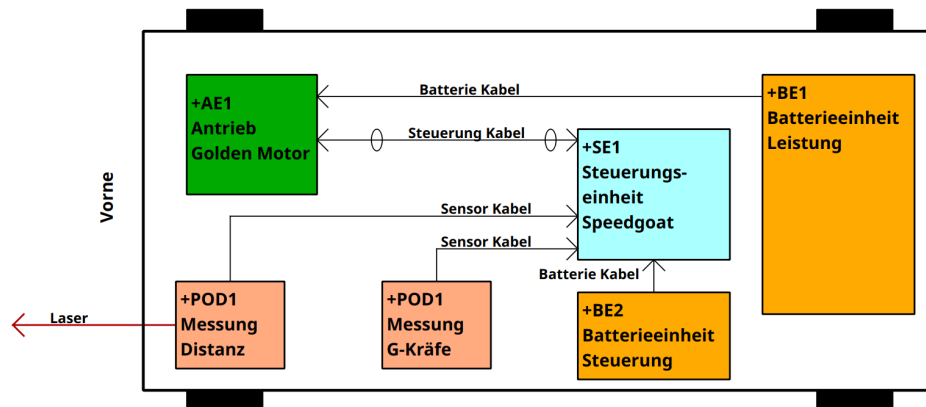


Abbildung 2.1: Konzept – Aufbauplan des Pods

Der Antrieb (+AE1) erfolgt über einen BLDC-Motor. Dieser wird mittels eines zusätzlichen Steuergeräts, einem Vector-Controller (FOC: Field Oriented Control), angesteuert. Für die Energieversorgung des Antriebs wird eine Leistungsbatterie (+BE1) verwendet.

## Kapitel 3

# Stand der Technik

### To-do

- Bilder neu machen aus dem Schaltplan.
- Vector Controller, Funktionsweise nur kurz erklären und mehr auf die Anschlüsse eingehen.
- PIN-Mapping als Tabelle erstellen, für den Motor und den Vector Controller.
- QElectroTeck.
- PIN-Mapping als Tabelle erstellen, für den Motor und den Vector Controller.
- Auf die PDF verweisen.

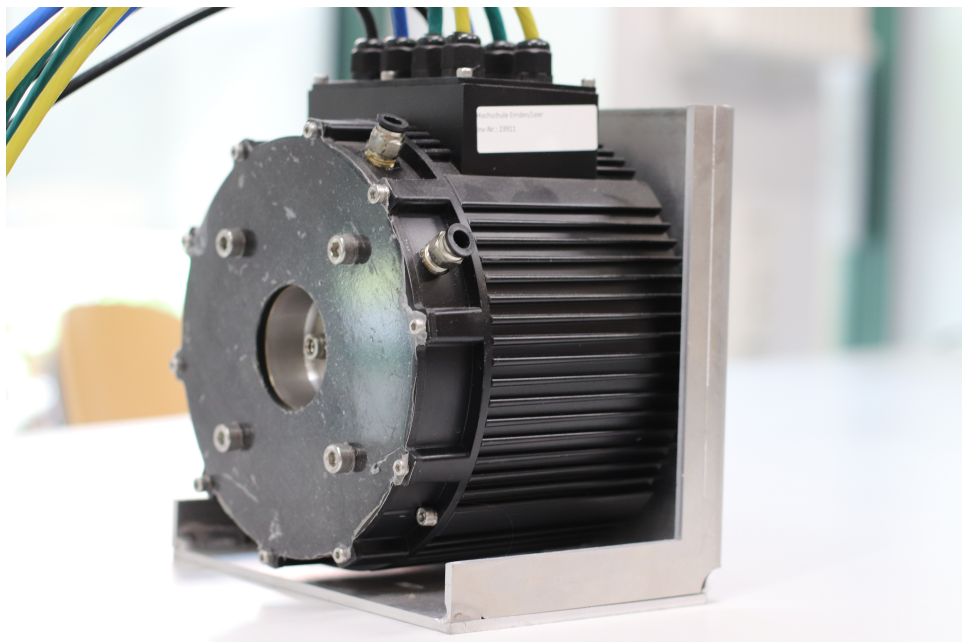
In dem folgenden Abschnitt werden die verwendeten Bauteile, welche in Kapitel 2 dargestellt worden sind, näher beschrieben.

### 3.1 Antrieb – Golden Motor

Golden Motor bietet eine Gesamtlösung bestehend aus einem BLDC-Motor und einem Vektor-Controller an. Der Motor wird dabei mit dem Controller verbunden, der eine Schnittstelle mit allen notwendigen Steuer- und Kontrollsignalen bereitstellt, um den Motor anzutreiben. Die Anschlüsse sowie die grundlegende Funktionsweise werden in den Abschnitten 3.1.1 und 3.1.2 näher erläutert.

### 3.1.1 BLDC Motor

Der in Abbildung 3.1 dargestellte BLDC-Motor verfügt über eine Leistung von 10 kW und kann optional durch eine Ölkühlung gekühlt werden, was jedoch für das Fahrzeug derzeit nicht relevant ist. Die Drehzahl ist variabel und kann zwischen 2.000 und 6.000 U/min eingestellt werden, mittels dem Vector Controller der in Abschnitt 3.1.2 erklärt wird. Das Nenndrehmoment beträgt 26 Nm, während das maximale Drehmoment bei 85 Nm liegt. Der Wirkungsgrad des Motors beträgt 91 % [1].



**Abbildung 3.1:** Golden Motor – 10 KW BLDC Motor Liquid Cooled

Die Anschlüsse des Motors sind in Tabelle 3.1 aufgelistet. Der Motor verfügt über zwei Hall-Sensor-Kabel, die jeweils drei Hall-Sensoren sowie einen Temperatursensor enthalten. Zusätzlich sind ein GND- und ein +5V-Versorgungsanschluss in den Hall-Sensor-Kabeln integriert. Die Spulen des Motors werden über sechs separate Kabel angeschlossen: U, V und W.

**Tabelle 3.1:** Pin Mapping – BLDC-Motor

<b>Anschluss</b>	<b>Funktionalität</b>	<b>Farbe</b>
<b>Anschluss Adern Motor</b>		
U1	Spule 1	Gelb
V1	Spule 2	Grün
W1	Spule 3	Blau
U2	Spule 1	Gelb
V2	Spule 2	Grün
W2	Spule 3	Blau
<b>Motor Hall Kabel 1</b>		
Hall A	Hall Sensor	Gelb
Hall B	Hall Sensor	Grün
Hall C	Hall Sensor	Blau
Temp	Temperatur Sensor	Weiß
+5V	Spannungsversorgung	Rot
GND	Masse	Schwarz
<b>Motor Hall Kabel 2</b>		
Hall A	Hall Sensor	Gelb
Hall B	Hall Sensor	Grün
Hall C	Hall Sensor	Blau
Temp	Temperatur Sensor	Weiß
+5V	Spannungsversorgung	Rot
GND	Masse	Schwarz

### Funktionsweise

Ein BLDC-Motor (Brushless DC Motor) unterscheidet sich grundlegend von einem herkömmlichen Gleichstrommotor. Während bei einem traditionellen DC-Motor die Polumschaltung (Kommutierung) mechanisch über Kohlebürsten erfolgt, übernimmt beim BLDC-Motor eine elektronische Steuerung diese Aufgabe. Dadurch entfällt die Notwendigkeit von Kohlebürsten, was den Motor effizienter und langlebiger macht[2].

### 3.1.2 Vector Controller

Der Motor wird mithilfe eines Vektor-Controllers angesteuert, der in Abbildung 3.2 dargestellt ist. Der Controller hat die Aufgabe, den Motor basierend auf den Eingangssignalen so zu steuern, dass beispielsweise eine gewünschte Drehzahl erreicht wird. Die genaue Funktionsweise des Vektor-Controllers wird kurz unter 3.1.2 erläutert.

Das Pin-Mapping ist in Tabelle 3.2 aufgeführt. Bei den Steuersignalen muss auf den Spannungsbereich geachtet werden, da der Controller eine Störung meldet, wenn ein Signal außerhalb des zulässigen Bereichs liegt. Dies ist ein integriertes Sicherheitssystem des Controllers. Dies ist ein integriertes Sicherheitssystem des Controllers. So liegt beispielsweise bei der Bremse das digitale Signal bei 0, wenn die Spannung 1 V beträgt. Tritt ein Kabelbruch so wird die Spannung am Controller bei 0 V liegen und eine Warnung wird durch ein periodisches Piepen ausgegeben.



**Abbildung 3.2:** Golden Motor – VECTOR 500 Motor Controller

**Tabelle 3.2:** Pin Mapping – Vector Controller

Anschluss	Funktionalität	Farbe	U in V
<b>Batterie Eingang</b>			
B+	Versorgungsspannung	RT	48 V
B-	Masse	SW	0 V
<b>Motor Ausgang</b>			
U	Spule 1	GE	
V	Spule 2	GN	
W	Spule 3	BL	
<b>Steuerungskabel</b>			
1	CANL - CAN-Bus	Vorhanden?	
2	CANH – CAN-Bus	Vorhanden?	
3	Motor Temperatur	BL	
4, 5, 6	Masse	SW	0 V
7	Tempomat	Gr	0 V - 5 V
10	Elektronisches Schloss	OR	0 V - 5 V
11	Hall C – Sensor	BL	
12	Hall B – Sensor	GN	
13	Hall A – Sensor	GE	
14	+5 V	RT	5 V
15	+12V Bremse	GN&WS	Vorhanden?
16	Bremse	BL&WS	1 V - 5 V
20	Hohe Geschwindigkeit	BL	Vorhanden?
21	Masse	SW	0 V
24	Niedrige Geschwindigkeit	BL	Vorhanden?
25	Masse	SW&WS	0 V
26	Gaspedal	GN&WS	1 V - 5 V
27	Masse	SW	0 V

### Funktionsweise

Der Vektor-Controller verwendet die Motorsteuerungstechnologie der feldorientierten Regelung (Field-Oriented Control, FOC). Dabei wird die Position des Rotors im Motor mithilfe von Hall-Sensoren ermittelt. Mit der FOC-Technik ist es möglich, das Verhältnis von Drehmoment pro Ampere zu maximieren. Dafür muss der Rotorflussvektor im rechten Winkel (90 Grad) zum Statorflussvektor ausgerichtet sein [3].

## 3.2 Echtzeitfähige Steuerung – Speedgoat

To-do

- I/O Module 691 zuende Erklären.

Der Baseline Real-Time Target Machine, wie in Abbildung 3.3 dargestellt, ist ein echtzeitfähiges System. Es wird hauptsächlich in der Entwicklung und beim Testen von komplexen Steuerungs- und Regelungssystemen eingesetzt, bei denen die Echtzeitfähigkeit eine zentrale Rolle spielt. Echtzeitfähigkeit bezieht sich auf die Fähigkeit eines Systems, innerhalb einer festgelegten Frist auf externe Ereignisse oder Eingaben zu reagieren. In der Informatik und Technik spricht man von einem Echtzeitsystem, wenn es rechtzeitig arbeiten muss. Die Reaktionszeit auf Ereignisse ist hierbei entscheidend, da Verzögerungen zu Fehlern oder unvorhersehbaren Zuständen führen könnten [4].



Abbildung 3.3: Speedgoat – Baseline Real-Time Target Machine

Speedgoat-Systeme integrieren sich nahtlos mit Simulink, einer Software von MathWorks, die häufig zur Modellierung und Simulation dynamischer Systeme verwendet wird. Dank einer breiten Palette an I/O-Modulen lassen sich verschiedene Sensoren und Aktuatoren problemlos an die Systeme anschließen. Echtzeitsysteme von Speedgoat sind Computer, die in der La-

ge sind, Aufgaben innerhalb festgelegter Zeitintervalle auszuführen. Diese Systeme sind entscheidend für Anwendungen, bei denen die zeitliche Genauigkeit eine große Bedeutung ist, wie beispielsweise bei der Steuerung von Motoren, der Regelung von Prozessen oder der Simulation von physikalischen Systemen.



**Abbildung 3.4:** Speedgoat – Ansicht der Modulanschlüsse

In Abbildung 3.4 sind die Anschlüsse der I/O-Module des Speedgoat-Systems dargestellt. Die Zuordnung der Module zu den entsprechenden Anschlüssen ist in Tabelle 3.3 ersichtlich.

Das Modul IO397-50k-50k kann über ein Sensor-Aktor-Kabel von Phoenix Contact extern angeschlossen werden, wie in Abbildung 3.5 dargestellt. Zusätzlich wird das Modul IO691 mittels eines 9-Pin D-Sub-Steckers angegeschlossen.

**Tabelle 3.3:** Speedgoat – Anschlüsse der Module

<b>I/O Module</b>	<b>Name</b>	<b>Funktion</b>
1	A	IO397-50k analog I/O
	B	IO397-50k digital I/O
2	A	IO691 CAN
	B	IO691 CAN
3	A	IO397-50k analog I/O
	B	IO397-50k digital I/O
4	A	Frei
	B	Frei

### 3.2.1 I/O-Modul – IO397-50k

Das in Abbildung 3.5 gezeigte IO397-50k I/O-Modul bietet eine Vielzahl von analogen und digitalen Ein- und Ausgängen. Die Anschlüsse werden auf Modul A, das die analogen Schnittstellen bereitstellt, und Modul B, welches die digitalen Schnittstellen umfasst, verteilt. Die Anschlussbelegung werden in den Tabellen 3.4 und 3.5 dargestellt. Die Spannungen der Ein- und Ausgänge können softwaregesteuert angepasst werden [5].

**Abbildung 3.5:** Speedgoat – I/O Module 397 [5]

### Pin Mapping – IO397-50k

Das Terminal Board A ist für die Verarbeitung analoger Signale konzipiert, sowohl für Eingänge als auch für Ausgänge. Die Tabelle 3.4 zeigt das Pin-Mapping von Terminal Board A. Dieses Board verfügt über Anschlüsse für insgesamt vier analoge Eingänge (Pins A1 bis A8) und vier analoge Ausgänge (Pins A9 bis A12). Die Ausgänge sind an einen Digital-zu-Analog-Wandler

(DAC) angeschlossen, während die Eingänge mit einem Analog-zu-Digital-Wandler (ADC) verbunden sind.

**Tabelle 3.4:** IO397-50k Pin Mapping – Terminal Board A: analog I/O [5]

Pin	Funktionalität	Type
A1	Analog input 1 +	ADC
A2	Analog input 1 -	ADC
A3	Analog input 2 +	ADC
A4	Analog input 2 -	ADC
A5	Analog input 3 +	ADC
A6	Analog input 3 -	ADC
A7	Analog input 4 +	ADC
A8	Analog input 4 -	ADC
A9	Analog output 1	DAC
A10	Analog output 2	DAC
A11	Analog output 3	DAC
A12	Analog output 4	DAC
A13	GND	GND
A14	GND	GND
A15	0 V	0 V
A16	5 V DC	5 V DC
A17	GND	GND
SH	SH	Shielding

Terminal Board B hingegen bietet eine flexible Konfiguration für digitale Ein- und Ausgänge. Die Tabelle 3.5 zeigt das Pin Mapping von Terminal Board B. Die Pins B3 bis B16 sind für konfigurierbare I/O-Funktionalitäten ausgelegt und nutzen TTL-Signale (Transistor-Transistor-Logik), was sie besonders für schnelle digitale Schaltvorgänge geeignet macht. Dieses Board ermöglicht es, die Anschlüsse flexibel zu nutzen, je nach den Anforderungen der Applikation. Auch hier gibt es mehrere Spannungs- und Ground-Anschlüsse, sowie eine Abschirmung (Shielding) für das M12-Kabel, um elektromagnetische Störungen zu minimieren.

**Tabelle 3.5:** IO397-50k Pin Mapping – Terminal Board B: analog I/O [5]

Pin	Funktionalität	Type
B1	0 V	0 V
B2	5 V DC	5 V DC
B3	I/O 0	IN/OUT
B4	I/O 1	IN/OUT
B5	I/O 2	IN/OUT
B6	I/O 3	IN/OUT
B7	I/O 4	IN/OUT
B8	I/O 5	IN/OUT
B9	I/O 6	IN/OUT
B10	I/O 7	IN/OUT
B11	I/O 8	IN/OUT
B12	I/O 9	IN/OUT
B13	I/O 10	IN/OUT
B14	I/O 11	IN/OUT
B15	I/O 12	IN/OUT
B16	I/O 13	IN/OUT
B17	GND	GND
B18	SH	Shielding

### 3.2.2 I/O-Modul – IO691

Das IO691 I/O-Modul bietet eine intelligente CAN-Schnittstelle mit zwei Kanälen, die sowohl flexible Datenrate CAN (CAN FD) als auch High-Speed CAN (CAN HS) unterstützen. Es ist kompatibel mit CAN 2.0A/B-Netzwerken und unterstützt SAE J1939 sowie ASAM XCP für Bypassing. Alle Signale sind über 9-polige D-Sub-Front-CAN-Anschlüsse zugänglich [6].



**Abbildung 3.6:** Speedgoat – I/O Module 691 [6]

### Pin Mapping – IO691

**Tabelle 3.6:** IO691 Pin Mapping

Pin	DB9 Connector A/B, Signal
1	-
2	CAN-low
3	GND
4	-
5	-
6	GND
7	CAN-high
8	-
9	-

### 3.3 Simulink



#### 3.3.1 IO397-50k Module Konfigurieren

In dem Driver Block, wie in Abbildung 3.7 können die Pull-Resistors des Modules eingestellt werden, die in der Tabelle 3.7 aufgelistet sind.



Abbildung 3.7: Simulink – Driver Block – IO397-50k

Pull-Resistors werden verwendet um saubere Digitale schaltzustände zu erhalten, es gibt drei unterschiedliche Zustände, hight, low und floating die unterschieden werden.

Tabelle 3.7: Simulink – Pull Resistors

Modus	Funktion
pull-up 3,3V	
weak pull-up 5,0V	
pull-down	
floating	

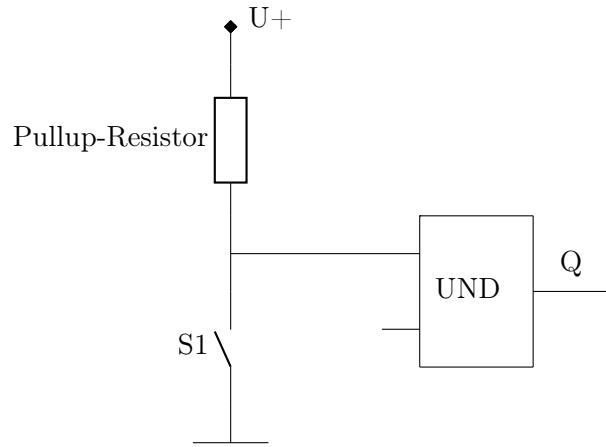


Abbildung 3.8: Schaltung – Pullup Resistors

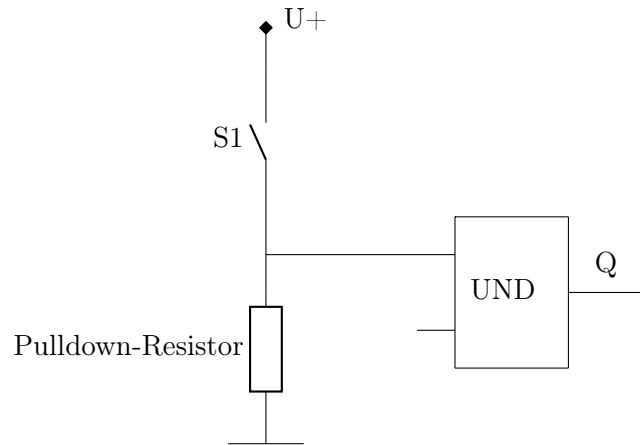
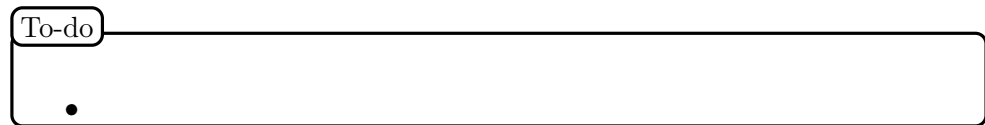


Abbildung 3.9: Schaltung – Pullup Resistors

### 3.3.2 IO691 Module Konfigurieren

### 3.4 QElectroTech



## Kapitel 4

# Implementierung

### 4.1 Auswahl der Bauteile

Für das Projekt wurden die echtzeitfähige Steuerung, die Batterie, der Motor und die zugehörige Steuerung vorgegeben. Alle weiteren Bauteile mussten bestellt werden.

### 4.2 Schaltplan

To-do

- Funktion (=Anlage) und Ortskennzeichen (+Ort) definieren.  
Funktionales Engineering.
- Bauteilkennzeichnung (BMK) festlegen.
- Aderfarben und Querschnitt definieren.
- Ausgewählte Bauteile in die Schaltung integrieren.
- Nicht vorhandene Bauteile selbst erstellen.
  - Bauteile sortiert hinzufügen: Spannungsversorgung, Steuerung (Eingang, dann Ausgang), Lastkreis und Sonderfunktionen.

Zu Beginn der Erstellung des Schaltplans sollten die Funktions- und Ortskennzeichen sowie die Beschriftung der Bauteile und Leitungen festgelegt werden. Bei der Verdrahtung ist es erforderlich, die Aderfarben den entsprechenden Spannungspotenzialen zuzuordnen.

### 4.2.1 Betriebsmittelbezeichnung

Ein Betriebsmittel besteht aus verschiedenen Kennzeichen: dem Funktionskennzeichen (=), dem Ortskennzeichen (+) und dem Betriebsmittelkennzeichen (-). Früher wurde das Funktionskennzeichen als „Anlage“ bezeichnet. In der neuen DIN EN IEC 81346-2 [7] wurde diese Bezeichnung jedoch auf „Funktion“ geändert.

#### Funktionskennzeichen

Das Funktionskennzeichen beschreibt eine bestimmte Funktion im Schaltplan, wie beispielsweise die Spannungsversorgung oder die Steuerung (siehe Tabelle 4.1).

**Tabelle 4.1:** Schaltplan – Funktionskennzeichen (=)

Abkürzung	Bezeichnung
SV	Spannungsversorgung
ES	Eingänge Steuerung
AS	Ausgänge Steuerung
KO	Kommunikation
AT	Antrieb
NA	Not-Aus

#### Ortskennzeichen

Das Ortskennzeichen gibt an, an welchem Ort ein Bauteil installiert ist. Beispielsweise gibt es im Fahrzeug eine Steuereinheit und eine Batterieeinheit. Im Schaltplan wird dadurch deutlich, welche Verbindungen zwischen verschiedenen Orten bestehen. Das Ortskennzeichen erleichtert zudem die Wartung und Installation des Systems.

**Tabelle 4.2:** Schaltplan – Ortskennzeichen (+)

Abkürzung	Bezeichnung
POD	Fahrzeug
BE	Batterieeinheit
SE	Steuereinheit
AE	Antriebseinheit

### Betriebsmittelkennzeichen

Das Betriebsmittelkennzeichen bezeichnet das spezifische Bauteil. Die genaue Zuordnung der Bezeichnungen ist in der DIN EN IEC 81346-2 geregelt. Die für das Projekt relevanten Betriebsmittelkennzeichen sind in Tabelle 4.3 aufgeführt.

**Tabelle 4.3:** Schaltplan – Betriebsmittelkennzeichen (-) [7]

Abkürzung	Klassenname	Allgemeine Bedeutung
FC	Überstromschutzobjekt	Sicherung
GB	Erzeugungsobjekt für elektrische Energie durch chemische Energie	Batterie
KE	Elektrische Signale verarbeitendes Objekt	Steuerung
MA	Elektromagnetisches Rotationsantriebsobjekt	Motor
QA	Stromsteuerungsobjekt	Relais
RL	Bewegungsbegrenzungsobjekt	Bremse
SF	Gesichtsinteraktionsobjekt	Schalter
TB	Stromkonvertierungsobjekt	Transformator
WD	Niederspannungsenergie Leitobjekt	Leitung/Kabel
XD	Niederspannungs-Verbindungsobjekt	Klemme, Stecker oder Buchse

Bei einer vollständigen Betriebsmittelbezeichnung sieht das Kennzeichen des Betriebsmittels folgendermaßen aus:

=ES2+SE1-10QA1

Die Betriebsmittelbezeichnung =ES2+SE1-10QA4 besagt, dass es sich um die Eingänge der Steuerung (=ES) handelt, wobei es zwei Funktionen gibt. Der Ort ist in der Steuereinheit (+SE) verortet, und das Betriebsmittel selbst ist ein Relais, das auf der Seite 10 des Schaltplans zu finden ist.

Das Kennzeichen umfasst sowohl das Funktions- als auch das Ortskennzeichen, die jeweils mit einer fortlaufenden Nummer versehen sind. Das Betriebsmittelkennzeichen enthält zwei Nummerierungen: Die erste gibt an, auf welcher Seite des Schaltplans sich das Betriebsmittel befindet, während die zweite die fortlaufende Nummerierung des Bauteils darstellt.

Im Schaltplan wird das Betriebsmittel lediglich durch das Betriebsmittelkennzeichen (-) dargestellt, während das Funktions- und Ortskennzeichen im Zeichnungskopf angegeben ist.

#### 4.2.2 Verdrahtung Konventionen

Für die Verdrahtung müssen den Spannungspotenzialen verschiedene Farben zugewiesen werden. Diese Zuordnungen sind in Tabelle 4.4 aufgeführt.

**Tabelle 4.4:** Verdrahtung Konvention – Aderfarben

Name	Fabe	U in V	A in mm <sup>2</sup>	Funktion
Rot		x		1
Blau		x		1
Schwarz		x		1
Schwarz		< 48	50	
Viollett		x		1

## 4.3 Simulation mit Simulink

To-do

- 

### 4.3.1

## 4.4 Distanzmessung

To-do

- + Anschlüsse herauszufinden vier anschlüsse gefunden.
- + Was für Aufgaben haben die Anschlüsse?
  - Was für ein Kommunikationsprotokol hat der Sensor?
  - Asynchron und seriell mit Baudrate 115200. (Oszilloskop)
- mit einem ESP32 die Sensordaten lesen.
- Nachrichten Dekodierung (Controller MCU)
  - 0x24 Start (Nachricht start)
  - 0x26 Stopp (Nachricht ende)
  - 24 30 30 30 33 32 36 30 30 32 39 26 (Stopp signal)
  - 24 30 30 30 33 32 36 30 31 33 30 26 (Laser an)
  - 24 30 30 30 32 32 31 32 33 26 (Messen)

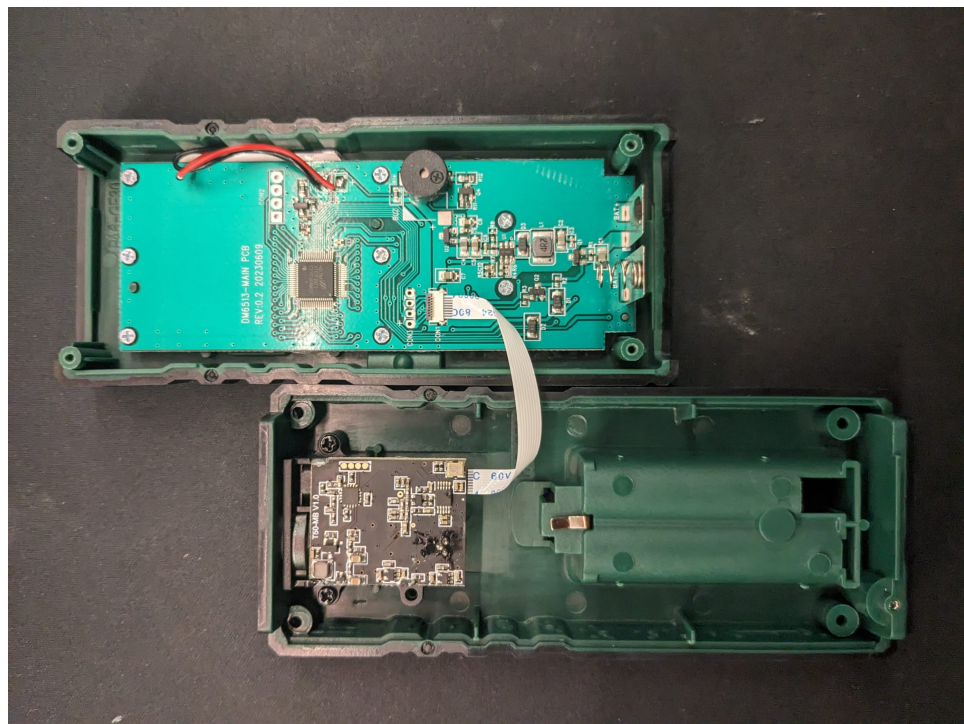
Der Sensor von Pepperl+Fuchs wurde ursprünglich für die Distanzmessung angeschafft. Da dieser Sensor jedoch sehr teuer ist und wir nicht das Risiko eines möglichen Schadens im Vakuum eingehen wollten, wurde nach einer kostengünstigen Alternative gesucht.

Die Idee bestand darin, ein Entfernungsmessgerät von PARKSIDE zu verwenden und den Sensor aus dem Gerät zu entfernen. Die Messwerte werden anschließend mit einer MCU decodiert.

### 4.4.1 Verbindung

Der Sensor ist über ein Flachbandkabel mit der Hauptplatine verbunden, wie in Abbildung 4.1 zu sehen ist. Auf der Hauptplatine befinden sich vier ungenutzte Lötstellen. Mithilfe eines Oszilloskops haben wir diese Lötstellen analysiert und festgestellt, dass Leitung eins eine Spannung von 3,3 V führt und Leitung vier als GND dient. Die Leitungen zwei und drei übertragen digitale Signale und fungieren als Datenleitungen.

Wenn zwei Leitungen für die Datenübertragung vorhanden sind, kann die Kommunikation bei einer zweiadrigten Verbindung entweder synchron oder asynchron erfolgen. Ist die Kommunikation synchron, dient eine der Leitungen als Taktleitung (Clock). Andernfalls, bei einer asynchronen Kommunikation, ist eine Leitung der Sender (TX) und die andere der Empfänger (RX). Dies ermöglicht eine Vollduplex-Übertragung. Der Sensor kommuniziert mit einem Bussystem.



**Abbildung 4.1:** PARKSIDE – Distanzsensor – Innenaufbau

**Tabelle 4.5:** PARKSIDE – Pin Mapping – Distanzsensor

Pin	Farbe	Funktion
1	Rot	3V3
2	Weiß	RX (receiver)
3	Gelb	TX (transmitter)
4	Schwarz	GND

## Kapitel 5

# Konklusion

To-do

- Endeschnittstellen für die weiterführung des Projekts.
- Lastenheft ???
- weiterführung mit Testsenarien.

## Kapitel 6

## Anhang

# Literatur

- [1] Golden Motor. *Motor Wiring*. PDF. [Online; Zugriff 05-September-2024]. 2024.
- [2] mathworks. *Introduction to Brushless DC Motor Control*. Abschnitt: Types of DC Motors; abgerufen am 11-08-2024. 2024. URL: <https://de.mathworks.com/campaigns/offers/next/introduction-to-brushless-dc-motor-control.html>.
- [3] Golden Motor. *Vector Controller (FOC) for BLDC Motors*. PDF. [Online; Zugriff 06-September-2024]. 2024.
- [4] DIN EN IEC 81346-2 *Industrielle Systeme, Anlagen und Ausrüstungen und Industrieprodukte – Strukturierungsprinzipien und Referenzkennzeichnung – Teil 2*. Norm. 2020.
- [5] Speedgoat. *IO397 – FPGA I/O Module – Hardware Reference Manual*. PDF. 2024.
- [6] Speedgoat. *IO691 – FPGA I/O Module – Hardware Reference Manual*. PDF. 2024.
- [7] DIN EN IEC 81346-2 *Industrielle Systeme, Anlagen und Ausrüstungen und Industrieprodukte – Strukturierungsprinzipien und Referenzkennzeichnung – Teil 2*. Norm. 2020.